

Билет №2

Вопрос 1

1. Статическая модуляционная характеристика амплитудного модулятора (СМХ)

Выбор рабочего режима.

СМХ – это зависимость амплитуды 1-ой гармоники выходного тока I_1 модулятора от напряжения смещения E при амплитуде вч несущей $U_m = \text{const}$ и амплитуде нч модулирующего сигнала $V_m = 0$.

$$I_1 = f(E)$$

Необходимо получить неискаженный АМ сигнал, для этого необходимо выбрать рабочую точку.

На ВАХ участок, который характеризуется полиномом 2^{ой} степени сложно, поэтому строится СМХ.

Линейный участок на СМХ соответствует квадратичному участку на ВАХ.

3.3.1. Расчет СМХ методом угла отсечки.

1. Аппроксимируем ВАХ отрезками прямых.

$$i = \begin{cases} 0, U > E_0 \\ S(U - E_0), U \leq E_0 \end{cases} \quad S < 0;$$

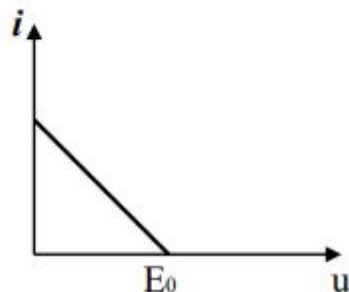


Рис.3.8.

2. Определяем пределы изменения смещения E .

$$E_0 - U_m \leq E \leq E_0 + U_m$$

U_m – амплитуда несущей.

3. Задаёмся напряжением смещения E' .

4. Определяем угол отсечки:

$$\cos \theta = \frac{E' - E_0}{U_m}$$

5. Определяем амплитуду первой гармоники:

$$I_1 = |S U_m \gamma_1(\theta)|, \text{ где } \gamma_1(\theta) - \text{коэффициент Берга}$$

6. Возвращаемся в пункт 3 и т.д.

Стандартный вид СМХ показан на рис. 3.9.

Рассмотрим выбор рабочего режима по СМХ.

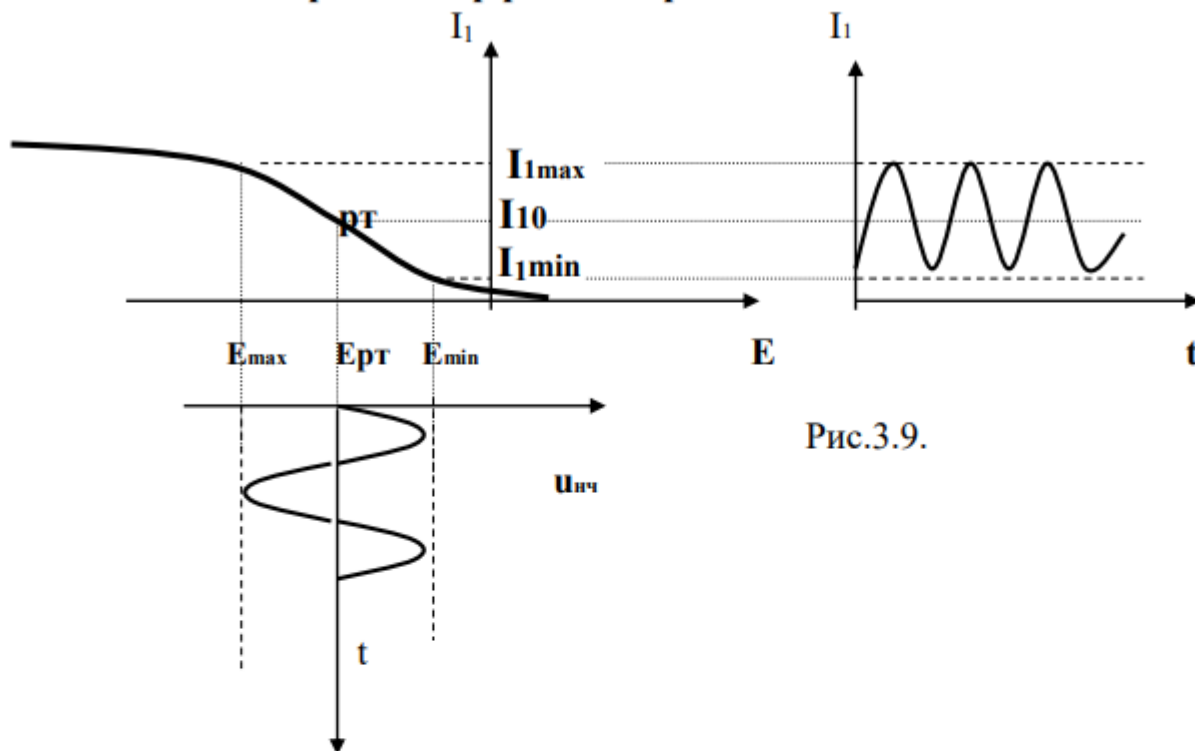


Рис.3.9.

1. Выбираем линейный участок (на глаз).
2. Определяем E_{\min} , E_{\max} , I_{\max} , I_{\min} .
3. Выбираем рабочую точку в середине линейного участка Р.Т. (I_{10} ; $E_{\text{р. т.}}$)
4. Определяем максимальную амплитуду модулирующего сигнала для неискажённой модуляции:

$$V_{\max} = \frac{E_{\max} - E_{\min}}{2}$$

5. Определяем максимальную глубину амплитудной модуляции для неискажённых АМ:

$$M_A = \frac{I_{1\max} - I_{1\min}}{I_{1\max} + I_{1\min}}$$

Вопрос 2

2. Потенциальная помехоустойчивость некогерентного приема. Потенциальная помехоустойчивость ДАМ, ДЧМ и ДОФМ сигналов.

Существенно сократить избыточность в передаваемых сообщениях позволяет помехоустойчивое кодирование. В общем плане помехоустойчивое кодирование можно понимать как такое кодирование сообщений, при котором элементы связаны определенной зависимостью, позволяющей при ее нарушении указать ошибки и восстановить информацию. Помехоустойчивые коды рассчитаны на определенные ошибки. Это значит, что при других ошибках они могут оказаться недостаточно эффективными.

Коэффициент избыточности определяется отношением:

$$R = \frac{n}{\log_2 N},$$

2.2.8. Потенциальная помехоустойчивость некогерентного приема.

$$\begin{aligned} P_{ош} &= P(H_1) \cdot P(\gamma_2 / H_1) + P(H_2) \cdot P(\gamma_1 / H_2) = 0.5 [P(\gamma_2 / H_1) + P(\gamma_1 / H_2)] = \\ &= P(\gamma_1 / H_2) = P\{X_{n1} > X_{n2} / H_2\} = P(\gamma_2 / H_1) = P\{X_{n1} < X_{n2} / H_1\} \end{aligned}$$

Положив $y_i = A_2 \cdot \cos(w_2 \cdot i + \Psi_{2i} + \varphi) + \eta_i$, записываем ФПВ гауссовских случайных величин $X_{nc1}, X_{ns1}, X_{nc2}, X_{ns2}$, затем переходим к величинам X_{n1}, X_{n2} . Далее весьма громоздкие вычисления вероятности $P\{X_{n1} > X_{n2} / H_2\}$ приводят к следующему окончательному результату:

$$P_{ош} = Q\left(\frac{1}{2} \sqrt{\frac{E}{\sigma_\eta^2}} (1 - \sqrt{1 - \rho_s^2}), \frac{1}{2} \sqrt{\frac{E}{\sigma_\eta^2}} (1 + \sqrt{1 - \rho_s^2})\right) - \frac{1}{2} e^{-\frac{1}{4} \frac{E}{\sigma_\eta^2}} \cdot I_0\left(\frac{1}{4} \cdot \frac{E}{\sigma_\eta^2} \rho_s\right), \quad (2.44)$$

где $\sigma_\eta^2 = \frac{N_0}{2}$ - дисперсия шума, $Q(x, y) = \int_y^\infty v \cdot e^{-\frac{v^2 + x^2}{2}} \cdot I_0(vx) dv$ - табулированная

функция, $\rho_s = \frac{1}{E} \sqrt{b_c^2 + b_s^2}$, $0 \leq \rho_s \leq 1$, $b_c = \frac{1}{2} \sum_{i=1}^n A_1 \cdot A_2 \cos[(w_2 - w_1)i + \Psi_{2i} - \Psi_{1i}]$,

$$b_s = \frac{1}{2} \sum_{i=1}^n A_1 \cdot A_2 \sin[(w_2 - w_1)i + \Psi_{2i} - \Psi_{1i}].$$

Где Н – некая гипотеза, γ – решение, которое принимается

Н1 и γ_1 – нет ошибки (сигнал есть)

Н2 и γ_2 – ошибка (сигнала нет)

Потенциальная помехоустойчивость некогерентного приема сигналов ДАМ, ДЧМ, ДОФМ.

1) ДАМ сигнал: из формулы (2.44) имеем

$$P_{ош} = \frac{1}{2} \left[1 + e^{-\frac{1}{2}h^2} - Q\left(\sqrt{\frac{E}{\sigma_\eta^2}}, h\right) \right],$$

где оптимальный порог h находится из уравнения $I_0\left(h\sqrt{\frac{E}{\sigma_\eta^2}}\right) = e^{\frac{1}{2}\frac{E}{\sigma_\eta^2}}$.

Существует приближенная формула для вычисления вероятности ошибки при некогерентном приеме ДАМ сигнала:

$$P_{ош} = \frac{1}{2} e^{-0.25h^2}, \quad (2.45)$$

где $h^2 = \frac{E}{N_0}$.

2) ДЧМ сигнал: сигнал ортогональный, поэтому $\rho_s \approx 0 \Rightarrow$ из (2.44):

$$P_{ош} = Q\left(0, \frac{1}{2}\sqrt{\frac{2E}{\sigma_\eta^2}}\right) - \frac{1}{2} e^{-\frac{1}{4}\frac{E}{\sigma_\eta^2}}.$$

Т.к. $Q\left(0, \frac{1}{2}\sqrt{\frac{2E}{\sigma_\eta^2}}\right) = e^{\frac{-(\frac{1}{2}\sqrt{\frac{2E}{\sigma_\eta^2}})^2}{2}}$, то получим следующее выражение для

вероятности ошибки: $P_{ош} = e^{-\frac{\frac{1}{2}E}{4\sigma_\eta^2 \cdot 2}} - \frac{1}{2} e^{-\frac{1}{4}\frac{E}{\sigma_\eta^2}} = \frac{1}{2} e^{-\frac{1}{4}\frac{E}{\sigma_\eta^2}}$. Дисперсия шума равна

$\sigma_\eta^2 = \frac{N_0}{2}$, тогда

$$P_{ош} = \frac{1}{2} e^{-0.5 \cdot h^2}. \quad (2.46)$$

ДОФМ – дискретная относительная фазовая манипуляция

3) ДФМ сигнал нельзя принимать некогерентным способом, т.к. при неизвестной начальной фазе такие системы неразличимы.

4) ДОФМ – сигналы, ортогональные на интервале $2T$, тогда $\rho_s = 0$ ($\rho_s = 0$, т.к. $b_c = 0$ и $b_s = 0 \Rightarrow b_c = \frac{1}{2} \sum_{i=1}^n \cos(0) - \frac{1}{2} \sum_{i=n+1}^{2n} \cos(0) = 0$, $b_s = \frac{1}{2} \sum_{i=1}^n \sin(0) - \frac{1}{2} \sum_{i=n+1}^{2n} \sin(0) = 0$). \Rightarrow

$$P_{out} = \frac{1}{2} e^{-\frac{1}{4} \frac{E_1}{\sigma_\eta^2}}, \text{ где } E_1 = 2E \Rightarrow \text{с учетом, что } \sigma_\eta^2 = \frac{N_0}{2}$$

$$P_{out} = \frac{1}{2} e^{-h^2}. \quad (2.47)$$

Прием ДОФМ ведется на интервале $2T(2n)$. Для ДОФМ сигналов алгоритм (2.43) преобразуется:

$$X_{nc1} = \sum_{i=1}^n y_i \cos(wi) + \sum_{i=n+1}^{2n} y_i \cos(w(i-n)), X_{ns1} = \sum_{i=1}^n y_i \sin(wi) + \sum_{i=n+1}^{2n} y_i \sin(w(i-n)),$$

$$X_{nc2} = \sum_{i=1}^n y_i \cos(wi) - \sum_{i=n+1}^{2n} y_i \cos(w(i-n)), X_{ns2} = \sum_{i=1}^n y_i \sin(wi) - \sum_{i=n+1}^{2n} y_i \sin(w(i-n)).$$

$$\text{Т.к. } S_{1i} = \begin{cases} \cos(wi), 0 < i \leq n \\ \cos(w(i-n)), n < i \leq 2n \end{cases}, \quad S_{2i} = \begin{cases} \cos(wi), 0 < i \leq n \\ -\cos(w(i-n)), n < i \leq 2n \end{cases} \Rightarrow$$

$$X_{n1} = \sqrt{X_{nc1}^2 + X_{ns1}^2} = \left[\left(\sum_{i=1}^n y_i \cos(wi) \right)^2 + \left(\sum_{i=n+1}^{2n} y_i \cos(w(i-n)) \right)^2 + \right. \\ \left. + 2 \cdot \sum_{i=1}^n y_i \cos(wi) \cdot \sum_{i=n+1}^{2n} y_i \cos(w(i-n)) + \left(\sum_{i=1}^n y_i \sin(wi) \right)^2 + \right. \\ \left. + \left(\sum_{i=n+1}^{2n} y_i \sin(w(i-n)) \right)^2 + 2 \cdot \sum_{i=1}^n y_i \sin(wi) \cdot \sum_{i=n+1}^{2n} y_i \sin(w(i-n)) \right]^{\frac{1}{2}}$$

Аналогично

$$X_{n2} = \sqrt{X_{nc2}^2 + X_{ns2}^2} = \left[\left(\sum_{i=1}^n y_i \cos(wi) \right)^2 + \left(\sum_{i=n+1}^{2n} y_i \cos(w(i-n)) \right)^2 - \right. \\ \left. - 2 \cdot \sum_{i=1}^n y_i \cos(wi) \cdot \sum_{i=n+1}^{2n} y_i \cos(w(i-n)) + \left(\sum_{i=1}^n y_i \sin(wi) \right)^2 + \right. \\ \left. + \left(\sum_{i=n+1}^{2n} y_i \sin(w(i-n)) \right)^2 - 2 \cdot \sum_{i=1}^n y_i \sin(wi) \cdot \sum_{i=n+1}^{2n} y_i \sin(w(i-n)) \right]^{\frac{1}{2}}$$

Обозначим $V_{n1} = \sum_{i=1}^n y_i \cos(wi) \cdot \sum_{i=n+1}^{2n} y_i \cos(w(i-n)) + \sum_{i=1}^n y_i \sin(wi) \cdot \sum_{i=n+1}^{2n} y_i \sin(w(i-n))$,

$$V_{n2} = -\sum_{i=1}^n y_i \cos(wi) \cdot \sum_{i=n+1}^{2n} y_i \cos(w(i-n)) - \sum_{i=1}^n y_i \sin(wi) \cdot \sum_{i=n+1}^{2n} y_i \sin(w(i-n)).$$

Тогда $\begin{matrix} \text{если } V_{n1} > V_{n2} \Rightarrow \gamma_1 \\ \text{если } V_{n1} < V_{n2} \Rightarrow \gamma_2 \end{matrix}$. Так как V_{n1} , V_{n2} отличаются только знаком, то алгоритм приема можно записать в следующей форме:

$$\begin{matrix} \text{если } V_{n1} > 0 \Rightarrow \gamma_1 \\ \text{если } V_{n1} < 0 \Rightarrow \gamma_2 \end{matrix} \quad (2.48)$$

На рисунке 2.16. показана структура алгоритма некогерентного приема ДОФМ сигнала.

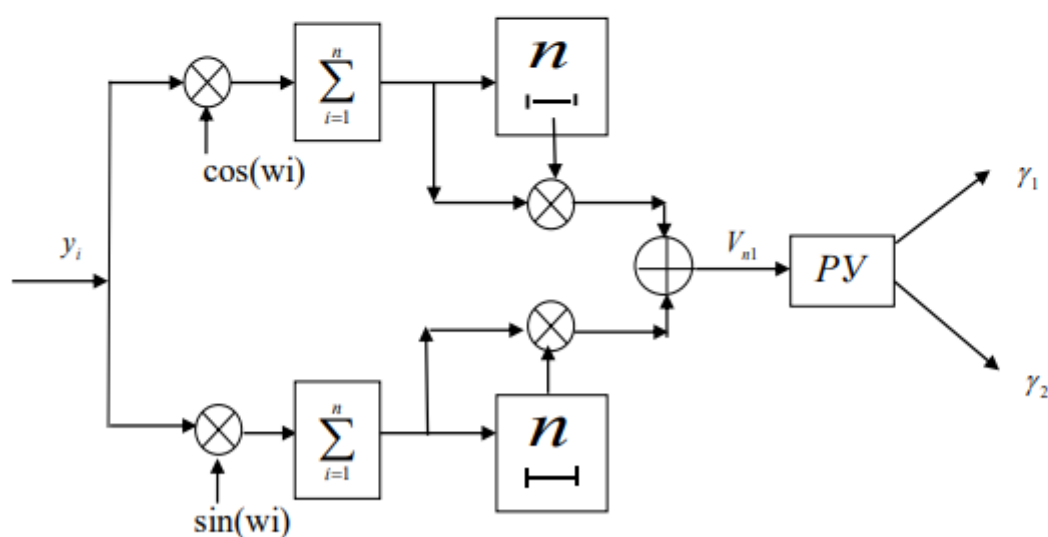
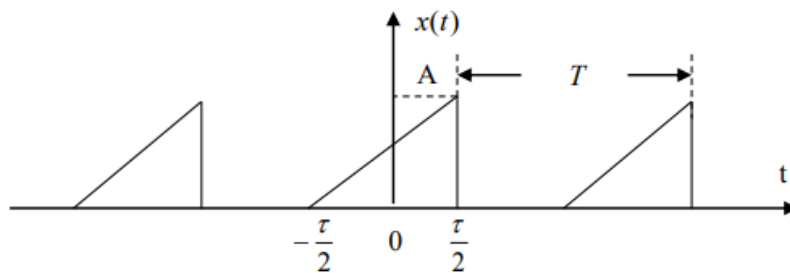


Рисунок 2.16. Структурная схема оптимального некогерентного приёма сигналов ДОФМ.

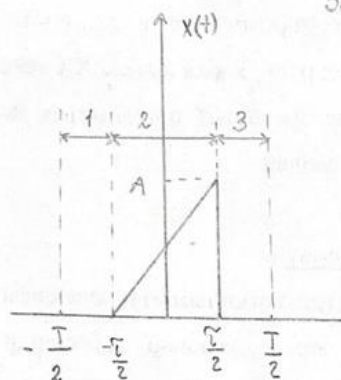
ЗАДАЧА

Задача. Найти амплитудный и фазовый спектр сигнала, изображенного на рисунке. T – период.



$$\tau = \frac{T}{2}.$$

Билет 52



Задача

$$\tau = \frac{T}{2}$$

Решение:

$$x(t) = \begin{cases} \frac{A}{\tau} \left(t + \frac{\tau}{2} \right) & |t| \leq \frac{\tau}{2} \\ 0, \text{ иначе} \end{cases}$$

$$\dot{S}(\omega) = \frac{1}{T} \int_{-\tau/2}^{\tau/2} x(t) e^{-j\omega t} dt$$

$$\dot{S}(\omega) = \frac{1}{T} \int_{-\tau/2}^{\tau/2} \frac{A}{\tau} \left(t + \frac{\tau}{2} \right) e^{-j\omega t} dt$$

$$\dot{S}(\omega) = \frac{A}{\tau T} \int_{-\tau/2}^{\tau/2} \left(t + \frac{\tau}{2} \right) e^{-j\omega t} dt = \frac{A}{\tau T} \cdot \underbrace{\int_{-\tau/2}^{\tau/2} t e^{-j\omega t} dt}_X + \frac{A}{2T} \underbrace{\int_{-\tau/2}^{\tau/2} e^{-j\omega t} dt}_Y$$

$$X = \frac{A}{\tau T} \int_{-\tau/2}^{\tau/2} t e^{-j\omega t} dt = - \frac{A \cdot (2 \sin(\frac{\tau\omega}{2}) - \tau\omega \cos(\frac{\tau\omega}{2}))}{T\tau\omega^2}$$

$$Y = \frac{A}{2T} \int_{-\tau/2}^{\tau/2} e^{-j\omega t} dt = \frac{A \cdot \sin(\frac{\tau\omega}{2})}{T\omega}$$

Дальше считаем лень, поэтому напишем:

$$|S| = \sqrt{\text{Re}^2(S) + \text{Im}^2(S)} - \text{амплитудный спектр}$$

$$\arg S = -\arctg\left(\frac{\text{Im}(S)}{\text{Re}(S)}\right) - \text{фазовый спектр}$$

Также, уточним, что спектр будет линейный, где $\left| \frac{1}{T} \right|$

Или

$$\begin{aligned}
 a_0 &= \frac{2}{T} \int_{-\tau/2}^{\tau/2} f(t) dt = \frac{2A}{T\tau} \int_{-\tau/2}^{\tau/2} \left(t + \frac{\tau}{2}\right) dt = \frac{2A}{T\tau} \int_{-\tau/2}^{\tau/2} \left(t + \frac{T}{4}\right) dt = \\
 &= \frac{2A \cdot 2}{T \cdot T} \int_{-\tau/2}^{\tau/2} \left(t + \frac{T}{4}\right) dt = \frac{4A}{T^2} \left(\frac{t^2}{2} + \frac{Tt}{4}\right) \Big|_{-\tau/2}^{\tau/2} = \\
 &= \frac{4A}{T^2} \left(\left(\frac{\tau^2}{8} + \frac{T\tau}{8}\right) - \left(\frac{\tau^2}{8} - \frac{T\tau}{8}\right)\right) = \\
 &= \frac{4A}{T^2} \cdot \frac{T\tau}{4} = \frac{4A\tau}{T^4} = \frac{AT}{2T} = \frac{A}{2}
 \end{aligned}$$

$$\begin{aligned}
 a_k &= \frac{2}{T} \int_{-\tau/2}^{\tau/2} \frac{A}{\tau} \left(t + \frac{\tau}{2}\right) \cos(\Omega k t) dt = \frac{2}{T} \int_{-\tau/2}^{\tau/2} \cos(\Omega k t) \left(\frac{At}{\tau} + \frac{A}{2}\right) dt \\
 a_k &= \frac{2A}{T\tau} \int_{-\tau/2}^{\tau/2} t \cos(\Omega k t) dt + \frac{A}{T} \int_{-\tau/2}^{\tau/2} \cos(\Omega k t) dt = \\
 &= \frac{A}{T} \cdot \frac{2 \sin\left(\frac{\tau k \Omega}{2}\right)}{k \Omega} = \boxed{\frac{A}{\pi k} \sin\left(\frac{\pi k}{2}\right)}
 \end{aligned}$$

$$\begin{aligned}
 \Omega &= \frac{2\pi}{T}; \quad \tau = \frac{T}{2} \\
 \frac{2A}{T \cdot \frac{T}{2}} \cdot \frac{-\frac{T}{2} k \frac{2\pi}{T} \cos\left(\frac{\frac{T}{2} k \cdot \frac{2\pi}{T}}{2}\right)}{k^2 \frac{4\pi^2}{T^2}} \\
 \frac{T^2}{4\pi^2} \cdot \frac{4A}{T^2} \cdot \frac{-\pi k \cos\left(\frac{\pi k}{2}\right) + 2 \sin\left(\frac{\pi k}{2}\right)}{k^2} \\
 b_k &= \boxed{\frac{A}{k^2 \pi^2} \left(2 \sin\left(\frac{\pi k}{2}\right) - \pi k \cos\left(\frac{\pi k}{2}\right)\right)}
 \end{aligned}$$

$$A_k = \sqrt{a_k^2 + b_k^2} = \sqrt{\frac{A^2}{\pi^2 k^2} \sin^2\left(\frac{\pi k}{2}\right) + \frac{A^2}{k^4 \pi^4} \left(2 \sin\left(\frac{\pi k}{2}\right) - \pi k \cos\left(\frac{\pi k}{2}\right)\right)^2} =$$

$$= \frac{A}{\pi k} \sqrt{\sin^2\left(\frac{\pi k}{2}\right) + \frac{\left(2 \sin\left(\frac{\pi k}{2}\right) - \pi k \cos\left(\frac{\pi k}{2}\right)\right)^2}{k^2 \pi^2}}$$

$$\varphi_k = \arctg\left(\frac{b_k}{a_k}\right), \text{ елишком долго писать}$$